

Modélisation d'écoulements à bas nombre de Mach : quelques résultats d'analyse

Yohan Penel¹

¹Équipe ANGE (CETMEF – INRIA – UPMC – CNRS)

Travaux en collaboration avec

S. Dellacherie (CEA Saclay), *B. Després* (LJLL), *G. Faccanoni* (Toulon),
B. Grec (Paris 5), *O. Lafitte* (Paris 13) & *N. Seguin* (LJLL)

Séminaire du laboratoire Jacques-Louis Lions

Paris – 18 janvier 2013

Plan de l'exposé

- 1 Introduction à la problématique bas Mach**
 - Convergence
 - Numérique
 - Vers de nouveaux modèles
- 2 Exemple : équations d'Euler pour un gaz parfait**
- 3 Étude du modèle abstrait de vibration de bulles**
 - Modèle
 - Solutions classiques
 - Solutions faibles
- 4 Analyse du système DLMN**
- 5 Autres modèles : équations, solutions et schémas numériques**

Modélisation

Paramètre sans dimension : nombre de Mach \mathcal{M} mesurant la compressibilité de l'écoulement

Problématique dans le cas $\mathcal{M} \ll 1$

$$\mathcal{P}_{\mathcal{M}} \quad \overset{?}{\longleftrightarrow} \quad \mathcal{P}_0$$

Analyse théorique

- 👉 À quel point le modèle incompressible est une bonne approximation du problème compressible ?
- 👉 Quelle est la qualité de la convergence ?

Analyse numérique

- 👉 Quel est l'équilibre entre la précision de la méthode et l'efficacité de l'algorithme ?
- 👉 L'algorithme reproduit-il le phénomène de convergence ?

Convergence vers l'incompressible

Démarche

- Preuve du caractère bien posé du problème à nombre de Mach fixé
- Établissement de bornes uniformes par rapport au nombre de Mach
- Étude de la convergence

Quelques références

- **Klainerman & Majda** ('81, '82) : modèles barotropes en domaine infini ou périodique avec des conditions initiales *bien préparées*
- **Schochet** ('94) : analyse de la convergence dans le cas Euler barotrope pour tout type de données initiales par décomposition en opérateurs d'ondes lentes (transport) et d'ondes rapides (équation des ondes)
- **Desjardins, Grenier, Lions & Masmoudi** ('99) : étude du cas barotrope en domaine borné
- **Danchin** ('01, '05) : étude du cas barotrope pour des espaces de Besov d'indices critiques
- **Alazard** ('05) : extension au cas de lois d'état quelconques

Illustration

Équations d'Euler barotrope adimensionnées

$$\begin{cases} \partial_t \rho + \nabla \cdot (\rho \mathbf{u}) = 0, \\ \partial_t (\rho \mathbf{u}) + \nabla \cdot (\rho \mathbf{u} \otimes \mathbf{u}) + \frac{P'(\rho)}{\mathcal{M}^2} \nabla \rho = 0. \end{cases}$$

Changement de variables : $\rho(t, x) = \rho_* \times \left(1 + \frac{\mathcal{M}}{a_*} r\right)$, $a_* = \sqrt{P'(\rho_*)}$

$$\partial_t q + (\mathbf{u} \cdot \nabla) q + \frac{1}{\mathcal{M}} \mathcal{L} q = 0, \quad q = \begin{pmatrix} r \\ \mathbf{u} \end{pmatrix}, \quad \mathcal{L} q = \begin{pmatrix} (a_* + \mathcal{M}r) \nabla \cdot \mathbf{u} \\ \frac{P'(\rho_* + \frac{\mathcal{M}\rho_*}{a_*} r)}{a_* + \mathcal{M}r} \nabla r \end{pmatrix}$$

Asymptotique

$$q(t, x) = q_{slow}(t, x) + q_{fast}\left(t, \frac{t}{\mathcal{M}}, x\right) + \mathcal{O}(\mathcal{M}).$$

Éléments d'analyse

Outils

- 🐛 Décomposition de Leray :

$$(\mathbb{L}^2(\Omega))^d = \mathcal{E} \oplus \mathcal{E}^\perp$$

$$\text{où } \mathcal{E} = \left\{ \mathbf{u} \in (\mathbb{L}^2(\Omega))^d : \nabla \cdot \mathbf{u} = 0 + CL \right\}$$

$$\text{et } \mathcal{E}^\perp = \left\{ \mathbf{u} \in (\mathbb{L}^2(\Omega))^d : \exists \phi \in H^1(\Omega), \mathbf{u} = \nabla \phi \right\}$$

On note \mathbb{P} le projecteur de Leray sur l'espace des champs solénoïdaux \mathcal{E} .

- 🐛 Inégalités fonctionnelles (Moser, Strichartz)
- 🐛 Calcul paradifférentiel (Littlewood–Paley)

Paramètres des différentes études théoriques

- 🐛 Conditions aux limites
- 🐛 **Conditions initiales** (bien préparées ou non)
- 🐛 Lois d'état
- 🐛 Viscosité

Aspects numériques

Constats

- Schémas explicites : condition de type CFL prohibitive
- Grille 2D cartésienne : la solution ne converge pas vers la solution incompressible lorsque l'on diminue le nombre de Mach

Quelques références

- Klein ('95) : splitting d'opérateurs
- Guillard *et al.* ('99, '04, '08) : développement asymptotique dans les schémas, préconditionnement
- Dellacherie *et al.* ('10, '13) : analyse des schémas à l'aide de la décomposition de Schochet, stabilité des noyaux, prise en compte des conditions aux limites

Construction de modèles intermédiaires

Analyse de la situation : dégénérescence du modèle compressible vers l'incompressible : **non satisfaisant** car le modèle incompressible ne permet pas de modéliser les **variations de température**

Simulation du modèle compressible à bas Mach : potentiellement source d'**instabilités numériques**

Alternative : utilisation du développement asymptotique pour construire des modèles intermédiaires

Domaines d'applications

- ☛ **Combustion** : Majda, Klein, Najm, ...
- ☛ **Nucléaire** : Bell, Paillère, Dellacherie, ...

Construction d'un modèle bas Mach

Conditions aux limites

$$\begin{cases} \rho(t, 0) = \rho_e(t) > 0, \\ (\rho u)(t, 0) = D_e(t) \geq 0, \\ \rho(t, L) = \rho_s(t) > 0. \end{cases}$$

Équations (Euler- Φ pour un gaz parfait)

$$\begin{cases} \partial_t \rho + \partial_x(\rho u) = 0, \\ \partial_t(\rho u) + \partial_x(\rho u^2 + p) = 0, \\ \partial_t(\rho E) + \partial_x(\rho E u + p u) = \Phi, \\ E = \frac{p}{(\gamma - 1)\rho} + \frac{1}{2}\rho|u|^2. \end{cases}$$

Construction d'un modèle bas Mach

Conditions aux limites

$$\begin{cases} \rho(t, 0) = \rho_e(t) > 0, \\ (\rho u)(t, 0) = D_e(t) \geq 0, \\ p(t, L) = p_s(t) > 0. \end{cases}$$

Équations adimensionnées

$$\begin{cases} \partial_{t'} \tilde{\rho} + \partial_{x'} (\tilde{\rho} \tilde{u}) = 0, \\ \partial_{t'} (\tilde{\rho} \tilde{u}) + \partial_{x'} (\tilde{\rho} \tilde{u}^2) + \frac{1}{\mathcal{M}^2} \partial_{x'} \tilde{p} = 0, \\ \partial_{t'} (\tilde{\rho} \tilde{E}) + \partial_{x'} (\tilde{\rho} \tilde{E} \tilde{u} + \tilde{p} \tilde{u}) = \tilde{\Phi}, \\ \tilde{E} = \frac{\tilde{p}}{(\gamma - 1) \tilde{\rho}} + \frac{\mathcal{M}^2}{2} \tilde{\rho} |\tilde{u}|^2. \end{cases}$$

Construction d'un modèle bas Mach

Conditions aux limites

$$\begin{cases} \rho(t, 0) = \rho_e(t) > 0, \\ (\rho u)(t, 0) = D_e(t) \geq 0, \\ p(t, L) = p_s(t) > 0. \end{cases}$$

Équations adimensionnées

$$\tilde{\xi} = \xi^{(0)} + \mathcal{M}\xi^{(1)} + \mathcal{M}^2\xi^{(2)} + \mathcal{O}(\mathcal{M}^3)$$

$$\begin{cases} \partial_{t'} \tilde{\rho} + \partial_{x'} (\tilde{\rho} \tilde{u}) = 0, \\ \partial_{t'} (\tilde{\rho} \tilde{u}) + \partial_{x'} (\tilde{\rho} \tilde{u}^2) + \frac{1}{\mathcal{M}^2} \partial_{x'} \tilde{p} = 0, \\ \partial_{t'} (\tilde{\rho} \tilde{E}) + \partial_{x'} (\tilde{\rho} \tilde{E} \tilde{u} + \tilde{p} \tilde{u}) = \tilde{\Phi}, \\ \tilde{E} = \frac{\tilde{p}}{(\gamma - 1)\tilde{\rho}} + \frac{\mathcal{M}^2}{2} \tilde{\rho} |\tilde{u}|^2. \end{cases}$$

Construction d'un modèle bas Mach

Conditions aux limites

$$\begin{cases} \rho(t, 0) = \rho_e(t) > 0, \\ (\rho u)(t, 0) = D_e(t) \geq 0, \\ \rho(t, L) = \rho_s(t) > 0. \end{cases}$$

Équations (Euler-LM) : ordre 0 dans le développement asymptotique

$$\begin{cases} \partial_t \rho + \partial_x(\rho u) = 0, \\ \partial_t(\rho u) + \partial_x(\rho u^2) + \partial_x \pi = 0, \\ \partial_x u = \frac{(\gamma - 1)\Phi}{\gamma \mathcal{P}(t)} - \frac{\mathcal{P}'(t)}{\gamma \mathcal{P}(t)}. \end{cases}$$

Construction d'un modèle bas Mach

Conditions aux limites

$$\begin{cases} \rho(t, 0) = \rho_e(t) > 0, \\ (\rho u)(t, 0) = D_e(t) \geq 0, \\ p(t, L) = p_s(t) > 0. \end{cases}$$

Équations (Euler-LM) : ordre 0 dans le développement asymptotique

$$\begin{cases} \partial_t \rho + \partial_x(\rho u) = 0, \\ \partial_t(\rho u) + \partial_x(\rho u^2) + \partial_x \pi = 0, \\ \partial_x u = \frac{(\gamma - 1)\Phi}{\gamma \mathcal{P}(t)} - \frac{\mathcal{P}'(t)}{\gamma \mathcal{P}(t)}. \end{cases}$$

$$p(t, x) = \mathcal{P}(t) + \pi(t, x) + \mathcal{O}(\mathcal{M}^3)$$

Construction d'un modèle bas Mach

Conditions aux limites

$$\begin{cases} \rho(t, 0) = \rho_e(t) > 0, \\ (\rho u)(t, 0) = D_e(t) \geq 0, \\ \cancel{\rho(t, L) = p_s(t) > 0.} \end{cases}$$

Équations (Euler-LM) : ordre 0 dans le développement asymptotique

$$\begin{cases} \partial_t \rho + \partial_x(\rho u) = 0, \\ \partial_t(\rho u) + \partial_x(\rho u^2) + \partial_x \pi = 0, \\ \partial_x u = \frac{(\gamma - 1)\Phi}{\gamma \mathcal{P}(t)} - \frac{\mathcal{P}'(t)}{\gamma \mathcal{P}(t)}. \end{cases}$$

$$\rho(t, x) = \mathcal{P}(t) + \pi(t, x) + \mathcal{O}(\mathcal{M}^3) \implies \mathcal{P}(t) = p_s(t), \pi(t, L) = 0$$

Construction d'un modèle bas Mach

Conditions aux limites

$$\begin{cases} \rho(t, 0) = \varrho_e(t) > 0, \\ (\rho u)(t, 0) = D_e(t) \geq 0, \\ u(t, L) = u_s(t). \end{cases}$$

Équations (Euler-LM) : ordre 0 dans le développement asymptotique

$$\begin{cases} \partial_t \rho + \partial_x(\rho u) = 0, \\ \partial_t(\rho u) + \partial_x(\rho u^2) + \partial_x \pi = 0, \\ \partial_x u = \frac{(\gamma - 1)\Phi}{\gamma \mathcal{P}(t)} - \frac{\mathcal{P}'(t)}{\gamma \mathcal{P}(t)}. \end{cases}$$

$$\mathcal{P}'(t) = -\frac{\gamma}{L} \left(u_s(t) - \frac{D_e(t)}{\varrho_e(t)} \right) \mathcal{P}(t) + \frac{\gamma - 1}{L} \int_0^L \Phi(t, x) dx, \quad \pi(t, L) = 0$$

Couplage hyperbolique–elliptique

Variables

• Y : fraction massique de la phase vapeur

• ϕ : potentiel de vitesse

Modèle Abstrait de Vibration de Bulles

$$ABV[Y_0, \psi, \Omega] \quad \begin{cases} \partial_t Y + \nabla \phi \cdot \nabla Y = 0, \\ \Delta \phi = \psi(t) \left[Y(t, \mathbf{x}) - \frac{1}{|\Omega|} \int_{\Omega} Y(t, \mathbf{x}') \, d\mathbf{x}' \right]. \end{cases}$$

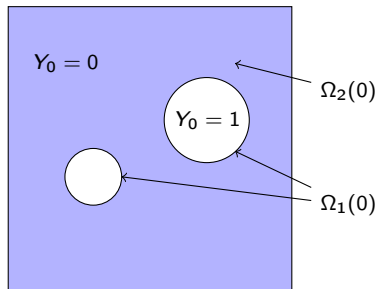
Pulsation (donnée) : $\psi \in \mathcal{C}^0(0, +\infty)$

Conditions initiales et aux limites

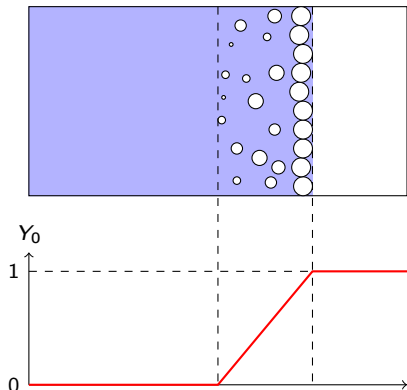
$$Y(0, \mathbf{x}) = Y_0(\mathbf{x}) \quad \Longrightarrow \quad \Delta \phi_0 = \mathcal{G}_{Y_0}$$

$$\nabla \phi \cdot \mathbf{n}|_{\partial\Omega} = 0 \quad \Longrightarrow \quad \text{condition de jauge : } \int_{\Omega} \phi(t, \mathbf{x}) \, d\mathbf{x} = 0$$

Modélisation d'écoulements à bulle



- Solutions **faibles**
- **Interface** de la bulle :
surface de **discontinuité**
de Y
- Résolution de l'équation de
transport sur Y :
algorithme de **capture**
d'interface



- Solutions **classiques**
- Y permet la **localisation** des zones
de liquide, mélange et vapeur

Caractère bien posé

On note $s_0 = \left\lfloor \frac{d}{2} \right\rfloor + 1$.

Théorème (S. Dellacherie & O. Lafitte, '05 ; Y.P., '09)

Soit $Y_0 \in H^s(\Omega)$, $s \geq s_0 + 1$. Alors il existe $\mathcal{T} > 0$ pour lequel le modèle ABV admet une unique solution classique Y sur $[0, \mathcal{T}]$. On a de plus :

$$Y \in \mathcal{W}_{s, \mathcal{T}}(\Omega) := \mathcal{C}^0([0, \mathcal{T}], L^2(\Omega)) \cap L^\infty([0, \mathcal{T}], H^s(\Omega)).$$

Proposition (Y.P., '09)

La solution existe sur l'intervalle $[0, \mathcal{T}_*]$, avec $\mathcal{T}_* > 0$ donné par :

$$\left\| Y_0 - \frac{1}{|\Omega|} \int_{\Omega} Y_0(\mathbf{x}) \, d\mathbf{x} \right\|_s \cdot \int_0^{\mathcal{T}_*} |\psi(t)| \, dt \leq C_*(s, d, \Omega).$$

Ébauche de la preuve

- 👉 **Construction d'une suite** $(Y^{(k)})$ par linéarisation du système
- 👉 Caractère **borné** dans $\mathcal{W}_{s,\mathcal{T}}(\Omega)$:
 - ➡ $y_k := \|Y^{(k)}\|_{s,\mathcal{T}}$ solution de $y_{k+1} \leq C(\mathcal{T})e^{y_k}$
 - ➡ Condition suffisante de convergence de la suite : $C(\mathcal{T}) \leq 1/e$
 - ➡ $(Y^{(k)})$ est bornée dans $\mathcal{W}_{s,\mathcal{T}}(\Omega) \implies (Y^{(k)}) \xrightarrow{*} \tilde{Y} \in \mathcal{W}_{s,\mathcal{T}}(\Omega)$
- 👉 **Convergence forte** dans $\mathcal{W}_{0,\mathcal{T}}(\Omega)$
 - ➡ Inégalité de contraction
 - ➡ Suite de Cauchy quel que soit $t \leq \mathcal{T}$
 - ➡ Complétude de $\mathcal{W}_{0,\mathcal{T}}(\Omega)$
- 👉 Interpolation : **convergence forte** vers \tilde{Y} dans $\mathcal{W}_{s',\mathcal{T}}(\Omega)$ pour tout $s' < s$
- 👉 Utilisation de la continuité pour montrer que \tilde{Y} est bien **solution** du problème $\mathcal{ABV}[Y_0, \psi, \Omega]$

Moyenne des solutions

On note, pour Y solution de $\mathcal{ABV}[Y_0, \psi, \Omega]$:

$$\mu_n(t) = \frac{1}{|\Omega|} \int_{\Omega} Y^n(t, \mathbf{x}) \, d\mathbf{x}.$$

La suite (μ_n) est définie pour toute solution (faible) dans $L^\infty([0, \mathcal{T}] \times \Omega)$.

Prenons le cas où Y_0 est à valeurs dans $[0, 1]$ (presque partout).

Moyenne des solutions

On note, pour Y solution de $\mathcal{ABV}[Y_0, \psi, \Omega]$:

$$\mu_n(t) = \frac{1}{|\Omega|} \int_{\Omega} Y^n(t, \mathbf{x}) \, d\mathbf{x}.$$

La suite (μ_n) est définie pour toute solution (faible) dans $L^\infty([0, \mathcal{T}] \times \Omega)$. Prenons le cas où Y_0 est à valeurs dans $[0, 1]$ (presque partout).

Reformulation adaptée au concept de **solutions faibles** :

$$\begin{cases} \partial_t Y + \nabla \cdot (Y \nabla \phi) = \psi(t) Y \left(Y - \frac{1}{|\Omega|} \int_{\Omega} Y(t, \mathbf{x}') \, d\mathbf{x}' \right), \\ Y(t=0, \cdot) = Y_0, \\ \Delta \phi(t, \mathbf{x}) = \psi(t) \left(Y(t, \mathbf{x}) - \frac{1}{|\Omega|} \int_{\Omega} Y(t, \mathbf{x}') \, d\mathbf{x}' \right), \\ \nabla \phi \cdot \mathbf{n}|_{\partial\Omega} = 0. \end{cases}$$

Moyenne des solutions

On note, pour Y solution de $\mathcal{ABV}[Y_0, \psi, \Omega]$:

$$\mu_n(t) = \frac{1}{|\Omega|} \int_{\Omega} Y^n(t, \mathbf{x}) \, d\mathbf{x}.$$

La suite (μ_n) est définie pour toute solution (faible) dans $L^\infty([0, \mathcal{T}] \times \Omega)$.

Prenons le cas où Y_0 est à valeurs dans $[0, 1]$ (presque partout).

En utilisant le **principe de renormalisation**, on prouve :

Lemme

Les termes de la suite (μ_n) vérifient les équations (au sens fort) :

$$\mu_n' = \psi(\mu_{n+1} - \mu_1 \mu_n).$$

Moyenne des solutions

Théorème (Y.P., '10)

Si Y est une solution faible de $\mathcal{ABV}[Y_0, \psi, \Omega]$ pour $Y_0 \in L^\infty(\Omega)$, alors :

$$\mu_n(t) = \frac{\int_{\Omega} [Y_0(\mathbf{x})]^n \exp[\Psi(t) Y_0(\mathbf{x})] \, d\mathbf{x}}{\int_{\Omega} \exp[\Psi(t) Y_0(\mathbf{x})] \, d\mathbf{x}}, \quad \Psi(t) := \int_0^t \psi(\tau) \, d\tau.$$

Lorsque Y est la fonction indicatrice du domaine $\Omega_1(t)$, alors :

$$\mu_1(t) = \mu_n(t) = \frac{|\Omega_1(t)|}{|\Omega|} = \frac{|\Omega_1(0)| \exp \Psi(t)}{|\Omega| - |\Omega_1(0)| + |\Omega_1(0)| \exp \Psi(t)},$$

représente le **volume relatif de la bulle**. Ce résultat fournit un **test de précision** pour les simulations.

Moyenne des solutions (principe du maximum)

Théorème (Y.P., '10)

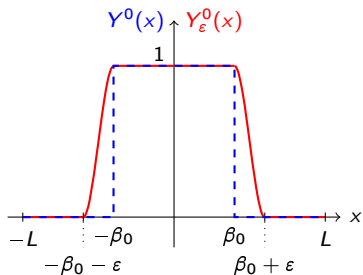
Si Y est une solution faible de $ABV[Y_0, \psi, \Omega]$ pour $Y_0 \in L^\infty(\Omega)$, alors :

$$\mu_n(t) = \frac{\int_{\Omega} [Y_0(\mathbf{x})]^n \exp[\Psi(t) Y_0(\mathbf{x})] \, d\mathbf{x}}{\int_{\Omega} \exp[\Psi(t) Y_0(\mathbf{x})] \, d\mathbf{x}}, \quad \Psi(t) := \int_0^t \psi(\tau) \, d\tau.$$

Proposition

Soit Y une solution faible de $ABV[Y_0, \psi, \Omega]$ avec $Y_0 \in L^\infty(\Omega)$. On suppose que Y_0 est à valeurs dans $[a, b]$ presque partout. Alors il en est de même pour $Y(t, \cdot)$ pour presque tout t .

Dimension 1 : démarche



$$Y_\epsilon^0(x) = \begin{cases} 0 & \text{si } x \in [-L, -\beta_0 - \epsilon] \cup [\beta_0 + \epsilon, L], \\ \Lambda \left(2 \frac{x + \beta_0}{\epsilon} + 1 \right) & \text{si } x \in [-\beta_0 - \epsilon, -\beta_0], \\ \Lambda \left(2 \frac{\beta_0 - x}{\epsilon} + 1 \right) & \text{si } x \in [\beta_0, \beta_0 + \epsilon], \\ 1 & \text{si } x \in] -\beta_0, \beta_0[. \end{cases}$$

Dimension 1 : vers une solution explicite

On utilise la **méthode des caractéristiques**. Pour $Y_\varepsilon^0 \in H^2(-L, L)$, on introduit le problème :

$$\frac{d\mathcal{X}_\varepsilon}{dt} = u_\varepsilon(t, \mathcal{X}_\varepsilon(t; x_0)), \quad \mathcal{X}_\varepsilon(0; x_0) = x_0.$$

Pour $t \in [0, \mathcal{T}_\varepsilon]$, $x \mapsto \mathcal{X}_\varepsilon(t, x)$ établit un difféomorphisme de $(-L, L)$ dans lui-même et est donc inversible.

La solution vérifie donc :

$$Y_\varepsilon(t, x) = Y_\varepsilon^0(\mathcal{X}_\varepsilon^{-1}(t; x)).$$

Dimension 1 : vers une solution explicite

On utilise la **méthode des caractéristiques**. Pour $Y_\varepsilon^0 \in H^2(-L, L)$, on introduit le problème :

$$\frac{d\mathcal{X}_\varepsilon}{dt} = u_\varepsilon(t, \mathcal{X}_\varepsilon(t; x_0)), \quad \mathcal{X}_\varepsilon(0; x_0) = x_0.$$

Pour $t \in [0, \mathcal{T}_\varepsilon]$, $x \mapsto \mathcal{X}_\varepsilon(t, x)$ établit un difféomorphisme de $(-L, L)$ dans lui-même et est donc inversible.

La solution vérifie donc :

$$Y_\varepsilon(t, x) = Y_\varepsilon^0(\mathcal{X}_\varepsilon^{-1}(t; x)).$$

Problème : \mathcal{T}_ε (prescrit par le théorème d'existence en temps fini) **tend vers 0** lorsque $\varepsilon \rightarrow 0$! On ne peut donc conclure.

Dimension 1 : vers une solution explicite

L'équation du jacobien s'écrit :

$$\begin{aligned}
 \partial_{x_0} \mathcal{X}_\varepsilon(t; x_0) &= \exp \left[\int_0^t \partial_x u_\varepsilon(\tau, \mathcal{X}_\varepsilon(\tau; x_0)) \, d\tau \right], \\
 &= \exp \left[\int_0^t \psi(\tau) [Y_\varepsilon(\tau, \mathcal{X}_\varepsilon(\tau; x_0)) - \mu_\varepsilon(\tau)] \, d\tau \right], \\
 &= e^{\Psi(t) Y_\varepsilon^0(x_0)} \exp \left[- \int_0^t \psi(\tau) \mu_\varepsilon(\tau) \, d\tau \right] = \frac{2L \exp [\Psi(t) Y_\varepsilon^0(x_0)]}{\int_{-L}^L \exp [\Psi(t) Y_\varepsilon^0(y)] \, dy}.
 \end{aligned}$$

On intègre alors cette dernière égalité par rapport à x_0 , ce qui donne :

$$\mathcal{X}_\varepsilon(t; x_0) = 2L \frac{\int_{-L}^{x_0} \exp [\Psi(t) Y_\varepsilon^0(y)] \, dy}{\int_{-L}^L \exp [\Psi(t) Y_\varepsilon^0(y)] \, dy} - L.$$

Dimension 1 : vers une solution explicite

Théorème (Y.P., '10)

Soient $Y_0 \in L^\infty(-L, L)$ et ψ continue. Alors une solution faible globale en temps de $ABV[Y_0, \psi, \Omega]$ est donnée par $\mathcal{Y}(t, x) = Y_0(\Theta_t^{-1}(x))$, où Θ_t^{-1} est la réciproque (par rapport à x_0) de la fonction :

$$\Theta(t, x_0) = 2L \frac{\int_{-L}^{x_0} \exp \Psi(t) Y^0(y) dy}{\int_{-L}^L \exp \Psi(t) Y^0(y) dy} - L.$$

Idées de base dans la preuve

- Changement de variables lipschitzien [Evans et Gariépy, **CRC-Press**, 1992]
- Validité de l'équation caractéristique $\partial_t \Theta = \mathcal{U}(t, \Theta)$
- Calcul de la quantité : $\mathcal{A}(\mathcal{Y}) := \iint \mathcal{Y}[\partial_t \varphi + \mathcal{U} \partial_x \varphi](t, x) dt dx$

Caractère bien posé

Modèle

$$\mathcal{ABV}[Y_0, \psi, \Omega] \quad \begin{cases} \partial_t Y + \nabla \phi \cdot \nabla Y = 0, \\ \Delta \phi = \psi(t) \left[Y(t, \mathbf{x}) - \frac{1}{|\Omega|} \int_{\Omega} Y(t, \mathbf{x}') \, d\mathbf{x}' \right]. \end{cases}$$

Structure analogue aux *équations d'Euler incompressibles 2D* (Yudovich, '63)

Application des résultats de DiPerna & Lions, '89 :

Théorème (Y.P., '12)

Soit $Y_0 \in L^\infty(\Omega)$. Il existe une unique solution renormalisée au problème $\mathcal{ABV}[Y_0, \psi, \Omega]$.

Modèle

Système \mathcal{DLMN} – S. Dellacherie, '05; Y.P., '09

$$\left\{ \begin{array}{l} D_t Y = 0 \\ \nabla \cdot \mathbf{u} = \mathcal{G}_\theta \\ \rho D_t \mathbf{u} = -\nabla \pi + \mu \Delta \mathbf{u} + \rho \mathbf{g} \\ \rho c_p D_t T = \alpha T P'(t) + \nabla \cdot (\kappa \nabla T) \\ \boldsymbol{\theta} = (Y, T, P) \end{array} \right.$$

Fermeture du modèle :

$$\mathcal{G}_\theta := \frac{-D_t \rho}{\rho} = -\frac{P'}{\Gamma P} + \frac{\beta \nabla \cdot (\kappa \nabla T)}{P}$$

Modèle

Système \mathcal{DLMN} – S. Dellacherie, '05; Y.P., '09

$$\left\{ \begin{array}{l} D_t Y = 0 \\ \nabla \cdot \mathbf{u} = \mathcal{G}_\theta \\ \rho D_t \mathbf{u} = -\nabla \pi + \mu \Delta \mathbf{u} + \rho \mathbf{g} \\ \rho c_p D_t T = \alpha T P'(t) + \nabla \cdot (\kappa \nabla T) \\ \boldsymbol{\theta} = (Y, T, P) \end{array} \right.$$

Fermeture du modèle :

$$\mathcal{G}_\theta := \frac{-D_t \rho}{\rho} = -\frac{P'}{\Gamma P} + \frac{\beta \nabla \cdot (\kappa \nabla T)}{P} \implies P'(t) = \mathcal{H}_\theta(t)$$

Modèle

Système $DLMN$ – (découplage du champ de vitesse)

$$\left\{ \begin{array}{l} D_t Y = 0 \\ \Delta \phi = \mathcal{G}_\theta, \quad \nabla \cdot \mathbf{w} = 0 \\ \rho D_t \mathbf{w} = -\nabla \pi + \mu \Delta \mathbf{w} + \rho \mathbf{g} - \rho D_t \nabla \phi \\ \rho c_p D_t T = \alpha T P'(t) + \nabla \cdot (\kappa \nabla T) \\ \theta = (Y, T, P), \quad \mathbf{u} = \mathbf{w} + \nabla \phi \end{array} \right.$$

Fermeture du modèle :

$$\mathcal{G}_\theta := \frac{-D_t \rho}{\rho} = -\frac{P'}{\Gamma P} + \frac{\beta \nabla \cdot (\kappa \nabla T)}{P} \implies P'(t) = \mathcal{H}_\theta(t)$$

Caractère bien posé

Théorème (S. Dellacherie, O. Lafitte & Y.P., '09)

Supposons $s \geq s_0 + 3$, $\theta_0 \in H^s(\mathbb{T}^d)$ tel que $x \in \mathbb{T}^d$, $\theta_0(x) \in G_0$ avec $\overline{G_0} \subset \Theta$, et $\mathbf{u}_0 \in H^{s-1}(\mathbb{T}^d)$. Alors il existe $\mathcal{T} = \mathcal{T}(\|\theta_0\|_s, \|\mathbf{u}_0\|_s) > 0$ pour lequel le système DLMN admet une unique solution classique $(\theta, \mathbf{u}, \nabla\pi)$ de régularité :

- $T, P \in \mathcal{X}_{s,\mathcal{T}}(\mathbb{T}^d)$, $Y \in \mathcal{X}_{s-1,\mathcal{T}}(\mathbb{T}^d)$, $\partial_t \theta \in \mathcal{X}_{s-2,\mathcal{T}}(\mathbb{T}^d)$;
- $\mathbf{u} \in \mathcal{X}_{s-1,\mathcal{T}}(\mathbb{T}^d)$, $\partial_t \mathbf{u} \in \mathcal{X}_{s-3,\mathcal{T}}(\mathbb{T}^d)$;
- $\nabla\pi \in \mathcal{X}_{s-3,\mathcal{T}}(\mathbb{T}^d)$.

Espace fonctionnel

$$\mathcal{X}_{s,\mathcal{T}}(\mathbb{T}^d) := \mathcal{C}^0([0, \mathcal{T}], L^2(\Omega)) \cap L^\infty([0, \mathcal{T}], H^s(\Omega)) \cap L^2([0, \mathcal{T}], H^{s+1}(\Omega))$$

Espace physique

$$\Theta = \{\theta \in \mathbb{R}^3 : \theta_1 \in [0, 1], \theta_2 > 0, \theta_3 > 0\}$$

Lois d'état

On suppose que les éléments de $\{\rho, \kappa, \alpha, c_p, \mu, \beta, \Gamma\}$ vérifient

$$\xi(Y, T, P) = \ell_\xi(Y, \xi_1(T, P), \xi_2(T, P)),$$

pour ℓ_ξ satisfaisant les propriétés :

- $\forall (y, x_1, x_2) \in [0, 1] \times \mathbb{R}^2, \ell_\xi(y, x_1, x_2) = \ell_\xi(1 - y, x_2, x_1)$;
- $\forall (x_1, x_2) \in \mathbb{R}^2, \ell_\xi(1, x_1, x_2) = x_1$;
- $\forall (y, x_1) \in [0, 1] \times \mathbb{R}, \ell_\xi(y, x_1, x_1) = x_1$.
- $\forall (y, x_1, x_2) \in [0, 1] \times \mathbb{R}^2, x_1 x_2 \neq 0 \implies \ell_\xi(y, x_1, x_2) \neq 0$;
- $\forall (y, x_1, x_2) \in [0, 1] \times \mathbb{R}^2, x_1 x_2 > 0 \implies x_1 \ell_\xi(y, x_1, x_2) > 0$.

Par ailleurs, on suppose que les lois d'état dans chaque phase sont telles que les fonctions

- $\rho_i, c_{p,i}$ et Γ_i sont non nulles dans un ouvert non vide $G_1 \subset \{(T, P) \in \mathbb{R}^2 : T > 0, P > 0\}$;
- μ_i/ρ_i et $\kappa_i/(\rho_i c_{p,i})$ sont strictement positives sur G_1 .

Just for fun

Les suites d'itérées de Picard sont bornées

$$\begin{aligned} \|Y^{(k)}\|_{s-1, \mathcal{T}} &\leq R_1, \quad \|(T, P)^{(k)}\|_{s, \mathcal{T}} \leq R_1, \\ \|\mathbf{u}^{(k)}\|_{s-1, \mathcal{T}} &\leq R_2, \quad \sup_{t \in [0, T]} |(T, P)^{(k)} - (T_0, P_0)|_\infty \leq \delta_G \end{aligned}$$

pour R_1, R_2 et $\mathcal{T} \geq \max\{T_{\clubsuit}, T_{\diamond}, T_{\heartsuit}, T_{\spadesuit}\}$ tels que

$$\begin{aligned} &\|Y_0\|_s^2 (1 + T_{\clubsuit}) \exp \left[C_{a,4} R_2 \sqrt{T_{\clubsuit}} \right] \leq R_1^2 \\ &\exp \left[C_{ad,0} T_{\diamond} \left(C_D(R_1) \left\{ R_1^2 + e^{C_{a,4} R_2 \sqrt{T_{\diamond}}} \|Y_0\|_s^2 \right\} + R_2^2 + 1 \right) \right] \\ &\quad \times \left[\|\underline{\theta}_0\|_s^2 + C_{ad,1} T_{\diamond} \left(C_{F,1}(R_1) + C_{F,2}(R_1) \left\{ R_1^2 + e^{C_{a,4} R_2 \sqrt{T_{\diamond}}} \|Y_0\|_s^2 \right\} \right) \right] \leq R_1^2 \\ &2C_{sob}^2 T_{\heartsuit} \exp \left[C_{\xi,1} T_{\heartsuit} \left(C_{F,3} + C_{F,4} \|\underline{\theta}_0\|_s^2 \right) \right] \leq \delta_G^2 \\ &e^{[(C_{u,1} + C_{u,4})(R_1, R_2)] T_{\spadesuit}} \left(\|\mathbf{u}_0\|_{s-1}^2 + C_{u,2}(R_1, R_2) T_{\spadesuit} + C_{u,3}(R_1) \right) \leq R_2^2 \end{aligned}$$

Modèle de cœur

Modèle *LMNC* (groupe de travail CDMATH)

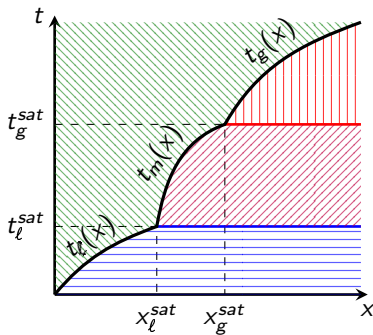
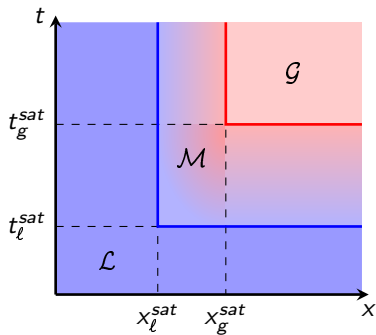
$$\begin{cases} \rho(h, p_0) \cdot [\partial_t h + \mathbf{u} \cdot \nabla h] = \Phi, \\ \nabla \cdot \mathbf{u} = \frac{\beta(h, p_0)}{p_0} \Phi, \\ \rho(h, p_0) \cdot [\partial_t \mathbf{u} + (\mathbf{u} \cdot \nabla) \mathbf{u}] + \nabla \pi - \mu \Delta \mathbf{u} = \rho(h, p_0) \mathbf{g}. \end{cases}$$

Commentaires

- Modélisation des réactions de fission via le terme de densité de puissance Φ
- Pression extérieure supposée constante
- Changement de phase pris en compte à travers la loi d'état

$$\rho(h, p_0) = \begin{cases} \rho_l(h, p_0), & \text{si } h \leq h_l^{\text{sat}}, \\ (1 - \psi) \rho_l^{\text{sat}} + \psi \rho_g^{\text{sat}}, & \text{si } h_l^{\text{sat}} < h < h_g^{\text{sat}}, \\ \rho_g(h, p_0), & \text{si } h \geq h_g^{\text{sat}}. \end{cases}$$

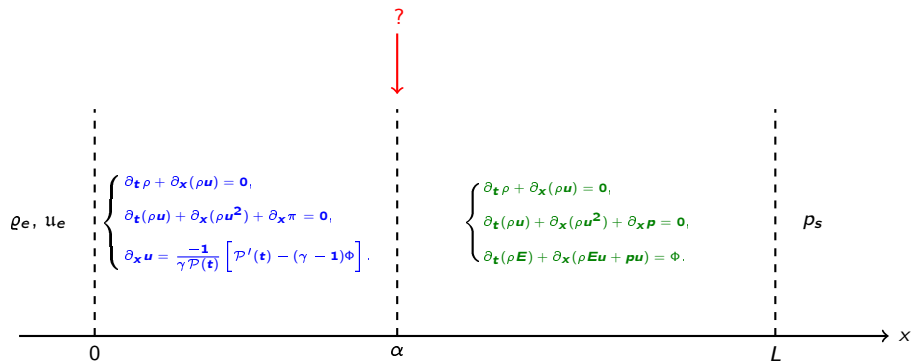
Solutions instationnaires (gaz raidis)



$$h(t, x) = \begin{cases} q_l + (h_0 - q_l)e^{\hat{\Phi}_l t}, & \text{si } (t, x) \in \mathcal{L} \text{ et } t < t_l(x), \\ q_m + (h_l^{\text{sat}} - q_m)e^{\hat{\Phi}_m(t - t_l^{\text{sat}})}, & \text{si } (t, x) \in \mathcal{M} \text{ et } t < t_m(x), \\ q_g + (h_g^{\text{sat}} - q_g)e^{\hat{\Phi}_g(t - t_g^{\text{sat}})}, & \text{si } (t, x) \in \mathcal{G} \text{ et } t < t_g(x), \\ h_e + \frac{\Phi_0}{D_e}x, & \text{sinon.} \end{cases}$$

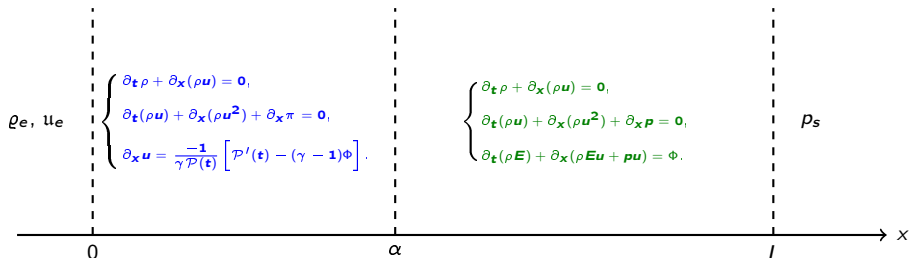
si $(t, x) \in \mathcal{L}$ et $t < t_l(x)$,
 si $(t, x) \in \mathcal{M}$ et $t < t_m(x)$,
 si $(t, x) \in \mathcal{G}$ et $t < t_g(x)$,
 sinon.

Couplage



Couplage

$$\begin{cases} \rho(t, \alpha^-) = \rho(t, \alpha^+), \\ u(t, \alpha^-) = u(t, \alpha^+), \\ \mathcal{P}(t) = p(t, \alpha^+), \\ \pi(t, \alpha^-) = 0. \end{cases}$$



Couplage

$$\rho_e, u_e \left\{ \begin{array}{l} \rho_\infty(x) = \frac{\rho_e}{1 + \frac{1}{2} \frac{\bar{\Psi}_x}{\Gamma L \mathcal{P}_\alpha}}, \\ \rho_\infty(x) = \frac{D_e^2 \mathcal{P}_\alpha}{\rho_e}, \\ \pi_\infty(x) = \frac{D_e^2}{2 \rho_e} \frac{\bar{\Phi}}{\Gamma \mathcal{P}_\alpha} \frac{\alpha - x}{L}, \\ u_\infty(x) = \frac{D_e}{\rho_e} \left(1 + \frac{1}{2} \frac{\bar{\Psi}_x}{\Gamma L \mathcal{P}_\alpha} \right). \end{array} \right. \left\{ \begin{array}{l} \rho_\infty(x) = \rho_\alpha \frac{\Gamma(\mathcal{P}_\alpha + 1) + \sqrt{(\Gamma \mathcal{P}_\alpha - \Gamma + 1)^2 - (2\Gamma - 1) \bar{\Psi} \frac{x}{L - \alpha}}}{2\Gamma \mathcal{P}_\alpha + 1 + \bar{\Psi} \frac{x}{L - \alpha}}, \\ \rho_\infty(x) = \frac{D_e^2}{(2\Gamma - 1) \rho_\alpha} \left[(\Gamma - 1)(\mathcal{P}_\alpha + 1) + \sqrt{(\Gamma \mathcal{P}_\alpha - \Gamma + 1)^2 - (2\Gamma - 1) \bar{\Psi} \frac{x}{L - \alpha}} \right], \\ u_\infty(x) = \frac{D_e}{(2\Gamma - 1) \rho_\alpha} \left[\Gamma(\mathcal{P}_\alpha + 1) - \sqrt{(\Gamma \mathcal{P}_\alpha - \Gamma + 1)^2 - (2\Gamma - 1) \bar{\Psi} \frac{x}{L - \alpha}} \right]. \end{array} \right. \rho_s$$

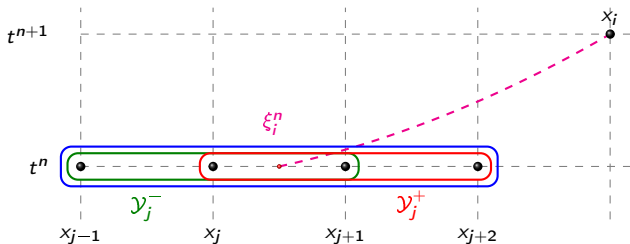
Couplage

$$\begin{cases} \varrho_\alpha = \frac{\varrho_e}{1 + \frac{1}{2} \frac{\bar{\Psi}_\alpha}{\Gamma L \mathcal{P}_\alpha}}, \\ 0 = \mathcal{P}_\alpha^3 - 2(\Gamma - 1)(1 - \mathcal{P}_0)\mathcal{P}_\alpha^2 \\ \quad + [2(\Gamma - 1)\mathcal{P}_0 - (2\Gamma - 1)\mathcal{P}_0^2 - (1 - \frac{\alpha}{\Gamma L})\bar{\Psi}] \mathcal{P}_\alpha + \frac{\Gamma - 1}{\Gamma} \frac{\alpha}{L} \bar{\Psi} \mathcal{P}_0. \end{cases}$$

$$\rho_e, u_e \left\{ \begin{array}{l} \rho_\infty(x) = \frac{\varrho_e}{1 + \frac{1}{2} \frac{\bar{\Psi}_x}{\Gamma L \mathcal{P}_\alpha}}, \\ \mathcal{P}_\infty(x) = \frac{D_e^2 \mathcal{P}_\alpha}{\varrho_e}, \\ \pi_\infty(x) = \frac{D_e^2}{2\varrho_e} \frac{\bar{\Phi}}{\Gamma \mathcal{P}_\alpha} \frac{\alpha - x}{L}, \\ u_\infty(x) = \frac{D_e}{\varrho_e} \left(1 + \frac{1}{2} \frac{\bar{\Psi}_x}{\Gamma L \mathcal{P}_\alpha} \right). \end{array} \right. \left\{ \begin{array}{l} \rho_\infty(x) = \varrho_\alpha \frac{\Gamma(\mathcal{P}_\alpha + 1) + \sqrt{(\Gamma \mathcal{P}_\alpha - \Gamma + 1)^2 - (2\Gamma - 1)\bar{\Psi} \frac{x}{L - \alpha}}}{2\Gamma \mathcal{P}_\alpha + 1 + \bar{\Psi} \frac{x}{L - \alpha}}, \\ \mathcal{P}_\infty(x) = \frac{D_e^2}{(2\Gamma - 1)\varrho_\alpha} \left[(\Gamma - 1)(\mathcal{P}_\alpha + 1) + \sqrt{(\Gamma \mathcal{P}_\alpha - \Gamma + 1)^2 - (2\Gamma - 1)\bar{\Psi} \frac{x}{L - \alpha}} \right], \\ u_\infty(x) = \frac{D_e}{(2\Gamma - 1)\varrho_\alpha} \left[\Gamma(\mathcal{P}_\alpha + 1) - \sqrt{(\Gamma \mathcal{P}_\alpha - \Gamma + 1)^2 - (2\Gamma - 1)\bar{\Psi} \frac{x}{L - \alpha}} \right]. \end{array} \right.$$

ρ_s

Méthode des caractéristiques numérique



Schéma

$$Y_i^{n+1} = \alpha_{ij}^n Y_{ij}^- + (1 - \alpha_{ij}^n) Y_{ij}^+$$

$$\theta_{ij}^n = \frac{x_{j+1} - \xi_i^n}{\Delta x}$$

$$\mathcal{P}_j^+(\theta_{ij}^n) \geq 0$$

$$\mathcal{P}_j^+(\theta_{ij}^n) < 0$$

$$\mathcal{P}_j^-(\theta_{ij}^n) \geq 0$$

$$\alpha_{ij}^n = \frac{1 + \theta_{ij}^n}{3}, Y_{ij}^\pm = Y_j^\pm$$

$$\alpha_{ij}^n = 1, Y_{ij}^\pm = Y_j^\pm$$

$$\mathcal{P}_j^-(\theta_{ij}^n) < 0$$

$$\alpha_{ij}^n = 0, Y_{ij}^\pm = Y_j^\pm$$

$$\alpha_{ij}^n = \theta_{ij}^n, Y_{ij}^- = Y_j^n, Y_{ij}^+ = Y_{j+1}^n$$

Méthode **inconditionnellement stable** (L^∞, L^2) et d'ordre 2 en espace-temps

Conclusion

Bilan

- Construction de nouvelles familles de modèles
- Étude de couplages caractéristiques de ces modèles
- Développement/utilisation d'outils numériques différents
- Apport qualitatif par la construction de solutions (in)stationnaires explicites

Perspectives

- Enrichissement des modèles par la physique
- Prolongement des études théoriques à la dimension 2 et à d'autres espaces fonctionnels
- Couplages de codes
- Approche applicable à d'autres problématiques

A serene sunset scene over the ocean. The sun is a bright orange circle on the horizon, casting a long, soft glow across the sky. The sky transitions from a pale yellow near the horizon to a light blue at the top. The ocean is a deep blue-grey, with gentle waves breaking onto a sandy beach in the foreground. The waves have a white, frothy texture. The overall mood is peaceful and calm.

MERCI DE VOTRE ATTENTION

... et rendez-vous à Seignosse du 27 au 31 mai 2013
pour le 6^{ème} congrès SMAI